

# Starkniederschlagshöhen und -spenden gemäß KOSTRA-DWD-2020

## Rasterfeld 69186

(Zeile 69, Spalte 186)

### Regenspende und Bemessungsniederschlagswerte in Abhängigkeit von Wiederkehrzeit T und Dauerstufe D

| Dauerstufe D |     | Wiederkehrzeit T |            |      |            |      |            |      |            |      |            |       |            |       |            |       |            |       |            |
|--------------|-----|------------------|------------|------|------------|------|------------|------|------------|------|------------|-------|------------|-------|------------|-------|------------|-------|------------|
|              |     | 1 a              |            | 2 a  |            | 3 a  |            | 5 a  |            | 10 a |            | 20 a  |            | 30 a  |            | 50 a  |            | 100 a |            |
| min          | Std | mm               | l / (s ha) | mm   | l / (s ha) | mm   | l / (s ha) | mm   | l / (s ha) | mm   | l / (s ha) | mm    | l / (s ha) | mm    | l / (s ha) | mm    | l / (s ha) | mm    | l / (s ha) |
| 5            |     | 6,8              | 226,7      | 8,4  | 280,0      | 9,3  | 310,0      | 10,6 | 353,3      | 12,4 | 413,3      | 14,2  | 473,3      | 15,4  | 513,3      | 17,0  | 566,7      | 19,3  | 643,3      |
| 10           |     | 8,5              | 141,7      | 10,4 | 173,3      | 11,6 | 193,3      | 13,2 | 220,0      | 15,4 | 256,7      | 17,8  | 296,7      | 19,3  | 321,7      | 21,3  | 355,0      | 24,1  | 401,7      |
| 15           |     | 9,6              | 106,7      | 11,7 | 130,0      | 13,1 | 145,6      | 14,8 | 164,4      | 17,4 | 193,3      | 20,0  | 222,2      | 21,7  | 241,1      | 23,9  | 265,6      | 27,1  | 301,1      |
| 20           |     | 10,3             | 85,8       | 12,7 | 105,8      | 14,1 | 117,5      | 16,0 | 133,3      | 18,8 | 156,7      | 21,6  | 180,0      | 23,5  | 195,8      | 25,9  | 215,8      | 29,4  | 245,0      |
| 30           |     | 11,5             | 63,9       | 14,1 | 78,3       | 15,8 | 87,8       | 17,9 | 99,4       | 20,9 | 116,1      | 24,1  | 133,9      | 26,2  | 145,6      | 28,9  | 160,6      | 32,7  | 181,7      |
| 45           |     | 12,8             | 47,4       | 15,7 | 58,1       | 17,5 | 64,8       | 19,9 | 73,7       | 23,3 | 86,3       | 26,8  | 99,3       | 29,0  | 107,4      | 32,1  | 118,9      | 36,4  | 134,8      |
| 60           | 1   | 13,8             | 38,3       | 16,9 | 46,9       | 18,8 | 52,2       | 21,4 | 59,4       | 25,0 | 69,4       | 28,8  | 80,0       | 31,3  | 86,9       | 34,5  | 95,8       | 39,1  | 108,6      |
| 90           | 1,5 | 15,3             | 28,3       | 18,7 | 34,6       | 20,8 | 38,5       | 23,7 | 43,9       | 27,7 | 51,3       | 31,9  | 59,1       | 34,6  | 64,1       | 38,2  | 70,7       | 43,3  | 80,2       |
| 120          | 2   | 16,4             | 22,8       | 20,1 | 27,9       | 22,4 | 31,1       | 25,4 | 35,3       | 29,7 | 41,3       | 34,2  | 47,5       | 37,2  | 51,7       | 41,0  | 56,9       | 46,5  | 64,6       |
| 180          | 3   | 18,1             | 16,8       | 22,2 | 20,6       | 24,7 | 22,9       | 28,1 | 26,0       | 32,9 | 30,5       | 37,8  | 35,0       | 41,1  | 38,1       | 45,3  | 41,9       | 51,4  | 47,6       |
| 240          | 4   | 19,4             | 13,5       | 23,8 | 16,5       | 26,6 | 18,5       | 30,1 | 20,9       | 35,3 | 24,5       | 40,6  | 28,2       | 44,1  | 30,6       | 48,6  | 33,8       | 55,2  | 38,3       |
| 360          | 6   | 21,5             | 10,0       | 26,3 | 12,2       | 29,3 | 13,6       | 33,3 | 15,4       | 39,0 | 18,1       | 44,8  | 20,7       | 48,7  | 22,5       | 53,7  | 24,9       | 60,9  | 28,2       |
| 540          | 9   | 23,7             | 7,3        | 29,1 | 9,0        | 32,4 | 10,0       | 36,8 | 11,4       | 43,0 | 13,3       | 49,5  | 15,3       | 53,8  | 16,6       | 59,3  | 18,3       | 67,3  | 20,8       |
| 720          | 12  | 25,4             | 5,9        | 31,2 | 7,2        | 34,7 | 8,0        | 39,4 | 9,1        | 46,2 | 10,7       | 53,1  | 12,3       | 57,7  | 13,4       | 63,6  | 14,7       | 72,2  | 16,7       |
| 1080         | 18  | 28,1             | 4,3        | 34,4 | 5,3        | 38,3 | 5,9        | 43,5 | 6,7        | 51,0 | 7,9        | 58,6  | 9,0        | 63,7  | 9,8        | 70,2  | 10,8       | 79,7  | 12,3       |
| 1440         | 24  | 30,1             | 3,5        | 36,9 | 4,3        | 41,1 | 4,8        | 46,7 | 5,4        | 54,7 | 6,3        | 62,9  | 7,3        | 68,3  | 7,9        | 75,3  | 8,7        | 85,5  | 9,9        |
| 2880         | 48  | 35,6             | 2,1        | 43,7 | 2,5        | 48,7 | 2,8        | 55,2 | 3,2        | 64,7 | 3,7        | 74,4  | 4,3        | 80,8  | 4,7        | 89,2  | 5,2        | 101,1 | 5,9        |
| 4320         | 72  | 39,3             | 1,5        | 48,2 | 1,9        | 53,7 | 2,1        | 61,0 | 2,4        | 71,4 | 2,8        | 82,1  | 3,2        | 89,2  | 3,4        | 98,4  | 3,8        | 111,6 | 4,3        |
| 5760         | 96  | 42,2             | 1,2        | 51,7 | 1,5        | 57,6 | 1,7        | 65,4 | 1,9        | 76,6 | 2,2        | 88,1  | 2,5        | 95,6  | 2,8        | 105,5 | 3,1        | 119,7 | 3,5        |
| 7200         | 120 | 44,5             | 1,0        | 54,6 | 1,3        | 60,8 | 1,4        | 69,0 | 1,6        | 80,8 | 1,9        | 93,0  | 2,2        | 101,0 | 2,3        | 111,4 | 2,6        | 126,4 | 2,9        |
| 8640         | 144 | 46,5             | 0,9        | 57,1 | 1,1        | 63,6 | 1,2        | 72,1 | 1,4        | 84,5 | 1,6        | 97,2  | 1,9        | 105,5 | 2,0        | 116,5 | 2,2        | 132,1 | 2,5        |
| 10080        | 168 | 48,3             | 0,8        | 59,2 | 1,0        | 66,0 | 1,1        | 74,9 | 1,2        | 87,7 | 1,5        | 100,9 | 1,7        | 109,6 | 1,8        | 120,9 | 2,0        | 137,1 | 2,3        |

# Starkniederschlagshöhen und -spenden gemäß KOSTRA-DWD-2020

## Rasterfeld 69186

(Zeile 69, Spalte 186)

### Örtliche Unsicherheiten in Abhängigkeit von Wiederkehrzeit T und Dauerstufe D

| Dauerstufe D |     | Wiederkehrzeit T |     |     |     |      |      |      |      |       |
|--------------|-----|------------------|-----|-----|-----|------|------|------|------|-------|
|              |     | 1 a              | 2 a | 3 a | 5 a | 10 a | 20 a | 30 a | 50 a | 100 a |
| min          | Std | ± %              | ± % | ± % | ± % | ± %  | ± %  | ± %  | ± %  | ± %   |
| 5            |     | 11               | 12  | 13  | 13  | 14   | 15   | 15   | 16   | 16    |
| 10           |     | 13               | 14  | 15  | 16  | 18   | 19   | 19   | 20   | 20    |
| 15           |     | 14               | 16  | 17  | 18  | 20   | 21   | 21   | 22   | 22    |
| 20           |     | 15               | 17  | 18  | 19  | 20   | 22   | 22   | 23   | 23    |
| 30           |     | 15               | 18  | 19  | 20  | 21   | 22   | 23   | 24   | 24    |
| 45           |     | 15               | 18  | 19  | 20  | 22   | 23   | 23   | 24   | 25    |
| 60           | 1   | 15               | 18  | 19  | 20  | 21   | 22   | 23   | 24   | 24    |
| 90           | 1,5 | 14               | 17  | 18  | 19  | 21   | 22   | 22   | 23   | 24    |
| 120          | 2   | 14               | 16  | 17  | 19  | 20   | 21   | 22   | 22   | 23    |
| 180          | 3   | 13               | 15  | 16  | 18  | 19   | 20   | 21   | 21   | 22    |
| 240          | 4   | 12               | 14  | 15  | 17  | 18   | 19   | 20   | 20   | 21    |
| 360          | 6   | 11               | 13  | 14  | 16  | 17   | 18   | 19   | 19   | 20    |
| 540          | 9   | 11               | 12  | 13  | 15  | 16   | 17   | 17   | 18   | 19    |
| 720          | 12  | 10               | 12  | 13  | 14  | 15   | 16   | 17   | 17   | 18    |
| 1080         | 18  | 10               | 11  | 12  | 13  | 14   | 15   | 16   | 16   | 17    |
| 1440         | 24  | 10               | 11  | 12  | 13  | 14   | 15   | 15   | 16   | 16    |
| 2880         | 48  | 11               | 11  | 12  | 12  | 13   | 14   | 14   | 15   | 15    |
| 4320         | 72  | 12               | 12  | 12  | 13  | 13   | 14   | 14   | 15   | 15    |
| 5760         | 96  | 13               | 13  | 13  | 13  | 14   | 14   | 14   | 15   | 15    |
| 7200         | 120 | 14               | 13  | 13  | 14  | 14   | 14   | 14   | 15   | 15    |
| 8640         | 144 | 15               | 14  | 14  | 14  | 14   | 15   | 15   | 15   | 15    |
| 10080        | 168 | 15               | 14  | 14  | 14  | 14   | 15   | 15   | 15   | 15    |

### Parameter für abweichende T und D

#### Lokationsparameter $\xi$ (Xi)

13,92341871

#### Skalenparameter $\alpha$ (Alpha)

4,37933562

#### Formparameter $\kappa$ (Kappa)

-0,1

#### 1. Koutsoyiannis-Parameter $\theta$ (Theta)

0,01312827

#### 2. Koutsoyiannis-Parameter $\eta$ (Eta)

0,75707875

Parameter für dauerstufenübergreifende Extremwertschätzung nach KOUTSOYIANNIS et al. 1998.

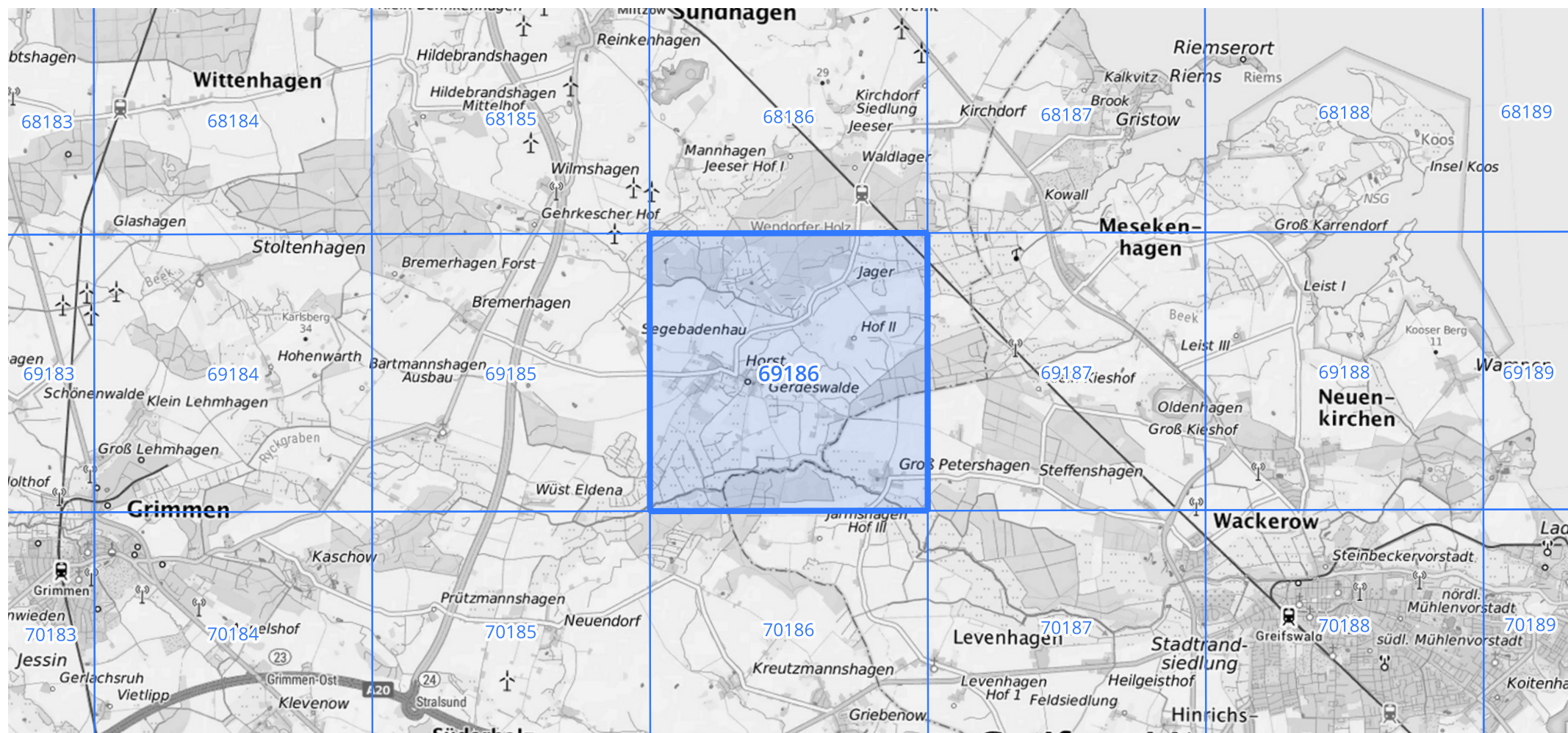
Siehe auch Anwendungshilfe zu KOSTRA-DWD-2020 des Deutschen Wetterdienstes.

# Starkniederschlagshöhen und -spenden gemäß KOSTRA-DWD-2020

## Rasterfeld 69186

(Zeile 69, Spalte 186)

Übersichtskarte des Rasterfeldes 69186, M 1 : 100 000



Quelle Rasterdaten: KOSTRA-DWD-2020 des Deutschen Wetterdienstes, Stand 12/2022.

Seite 3 von 3

Kartendarstellung: © Bundesamt für Kartographie und Geodäsie (2023), Datenquellen: [https://sgx.geodatenzentrum.de/web\\_public/gdz/datenquellen/Datenquellen\\_TopPlusOpen.html](https://sgx.geodatenzentrum.de/web_public/gdz/datenquellen/Datenquellen_TopPlusOpen.html)

Für die Richtigkeit und Aktualität der Angaben wird keine Gewähr übernommen. Erstellt 01/2023.